

名城大学 正会員 伊藤 政博

## 1はじめに

波の作用による海浜変形に関する研究は古くから今日に至るまで多くの研究者によって、実験・観測・調査が行なわれ、数多くの研究結果が発表されている。筆者は平衡海浜形状と水理量との間に関係式を設定するため、発表された実験データを整理・集約して、多变量解析を行なった。本報では、その一例として、平衡海浜形状の特性、すなわち初期海浜形状から汀線の変動量(底質変数あるいは目的変量)とこれに影響を与える一元水理量(独立変数あるいは説明変量)との間に非線形模型式(乘積模型)を設定し、この式の確立を行なう。

表-1. 多变量解析の分析手法の種類

パターン	主目的	分析手法	
		質的なデータ	質的なデータ
1型	予測・関係式の発見	重回帰分析、正準相関分析	数量化I類
2型	諸変量の統合・分類	主成分分析、因子分析	数量化III類
3型	標本の分類	判別分析	数量化II類
4型	検定	分散分析	

多变量解析(Multivariate Analysis)は一つの持性(ここでは汀線の変動量)が2種類以上の変量の組で表現される場合、多次元分布法則にもとづいて統計的手推論を試み、現象を抽象化する一つの統計的手法である。多变量解析の手法をその目的別に分類すると、表-1. で表わされる。結局、この研究では重回帰分析を使用する。

## 2 次元解説

波による海浜変形過程に関して、特に初期海浜形状からの前進・後退量  $x_{sl}$  は従来の研究で、次の通りに表わされている。

$$\frac{x_{sl}}{L_0} = f_1 \left[ \frac{h}{L_0}, \frac{d_m}{H_0}, i_0, \frac{H_0}{L_0}, \frac{T}{T_0}, (\frac{1}{T} - 1), \frac{\rho}{d_m \sqrt{g H_0}}, \phi \right] \quad (1)$$

ここで、 $x_{sl}$ : 静水面における汀線の初期海浜形状からの前進・後退量、 $h$ : 造波木樁一樣水深部での水深、 $d_m$ : 底質物質の平均粒径、 $H_0$ : 波浪高、 $L_0$ : 波浪長、 $i_0$ : 初期海浜形状(勾配)、 $T$ : 波の作用時間、 $T_0$ : 波の周期、 $\rho$ : 底質物質の密度、 $\phi$ : 流体の密度、 $\gamma$ : 流体の動粘性係数、 $\beta$ : 重力の加速度、 $\eta$ : 底質物質の水半安息角である。平衡状態下での海浜変形の  $x_{sl}/L_0$  を検討する場合、従来の研究では、波の作用時間の効果  $1/T$ 、水の粘性効果  $\gamma/(dm \sqrt{g H_0})$ 、水深の効果  $h/L_0$  は削除しているが、ここでは含めることにする。しかし、底質物質の安息角の効果  $\phi$  は、この値を記述している研究報告が少ないので、データの収集上困難となるため式より除外する。

## 3 重回帰分析

一般的の重回帰分析のモデルは底質変数  $y$  と  $p$  個の説明変量  $x_1, x_2, \dots, x_p$  の間の式(2)の関係を設定し、 $y$  を  $p$  個の変数で説明するものである。

$$y = f(x_1, x_2, \dots, x_p) + \varepsilon \quad (2)$$

この式で、 $\varepsilon$  は  $x_1, x_2, \dots, x_p$  で  $y$  を説明できない部分を表めし、誤差項といわれる。式(2)の  $f(x_1, x_2, \dots, x_p)$  を  $x_1, x_2, \dots, x_p$  の一次式と仮定すると、係数  $\beta_0, \beta_1, \beta_2, \dots, \beta_p$  との関係で式(3)のようになる。

$$y = \beta_0 + \beta_1 x_1 + \beta_2 x_2 + \dots + \beta_p x_p + \varepsilon \quad (3)$$

いま、観測値として、 $y_i$  と  $x_{i1}, x_{i2}, \dots, x_{ip}$  が各々個別に得られた場合、 $i$  番目の観測値を  $y_i, x_{i1}, x_{i2}, \dots, x_{ip}$  ( $i=1, \dots, n$ ) とすれば、式(3)は(4)の行列表示を用いて、次の通りに表わすことができる。

$$Y = X\beta + \varepsilon \quad (4)$$

$$Y = \begin{bmatrix} y_1 \\ y_2 \\ \vdots \\ y_m \end{bmatrix}, \quad X = \begin{bmatrix} 1 & x_{11} & x_{12} & \cdots & x_{1p} \\ 1 & x_{21} & x_{22} & \cdots & x_{2p} \\ \vdots & \vdots & \vdots & \ddots & \vdots \\ 1 & x_{m1} & x_{m2} & \cdots & x_{mp} \end{bmatrix}, \quad \beta = \begin{bmatrix} \beta_0 \\ \beta_1 \\ \vdots \\ \beta_p \\ \beta_m \end{bmatrix}, \quad \varepsilon = \begin{bmatrix} \varepsilon_1 \\ \varepsilon_2 \\ \vdots \\ \varepsilon_m \end{bmatrix} \quad (4)$$

したがって、最良回帰式を推定するためには式(5)の各数ベクトル $\beta$ を求めれば良いことになる。ここでは、式(1)の最良回帰式として、非線形の乘積模型を設定する。

$$\exp\left(\frac{x_{sl}}{L_0}\right) = \exp(\beta_0) \left(\frac{h}{L_0}\right)^{\beta_1} \cdot \left(\frac{d_m}{H_0}\right)^{\beta_2} \cdot (i_0)^{\beta_3} \cdot \left(\frac{H_0}{L_0}\right)^{\beta_4} \cdot \left(\frac{t}{T}\right)^{\beta_5} \cdot \left(\frac{V}{S}-1\right)^{\beta_6} \cdot \left(\frac{V}{d_m \sqrt{g H_0}}\right)^{\beta_7} \varepsilon \quad (6)$$

式(6)の両辺に自然対数をとる。

$$\frac{x_{sl}}{L_0} = \beta_0 + \beta_1 \ln\left(\frac{h}{L_0}\right) + \beta_2 \ln\left(\frac{d_m}{H_0}\right) + \beta_3 \ln(i_0) + \beta_4 \ln\left(\frac{H_0}{L_0}\right) + \beta_5 \ln\left(\frac{t}{T}\right) + \beta_6 \ln\left(\frac{V}{S}-1\right) + \beta_7 \ln\left(\frac{V}{d_m \sqrt{g H_0}}\right) + \ln \varepsilon. \quad (7)$$

さて、 $y = x_{sl}/L_0$ ,  $x_1 = \ln(h/L_0)$ ,  $x_2 = \ln(d_m/H_0)$ ,  $x_3 = \ln(i_0)$ ,  $x_4 = \ln(H_0/L_0)$ ,  $x_5 = \ln(t/T)$ ,  $x_6 = \ln(V/S-1)$ ,  $x_7 = \ln[V/(d_m \sqrt{g H_0})]$  とすると、式(7)は式(3)の回帰式を表すことができる。結局、式(7)の各数 $\beta$ を推定すれば所要の目的が達せられる。式(7)の各数の推定には幾つかの方法があるが、液状化度を含む Erciyasmson の既存の回帰式順によつて計算する。この方法は、最終方程式に含まれる各数に対する最小二乗解を与えるものではない。すなわち、 $y$ と最も相関の高い各数 $y_i$ を選定して、回帰方程式によって求めた後、残差 $y - \hat{y}$ を計算する。そこで、残差を回答と考え、この回答と最も高い相関を持つ $x$ (残りのものの中で)に対する回帰を考えるものである。図-1はこの計算に使用するデータ $n=118$ 個をプロットしたものである。表-2に計算に使用する各数の最小・最大値を示している。

これらのデータの計算結果は講演時に発表する予定である。

最後に、この研究を進めるにあたり、東大防災研究所土屋教授に御指導を賜りたことを記して謝意を表します。

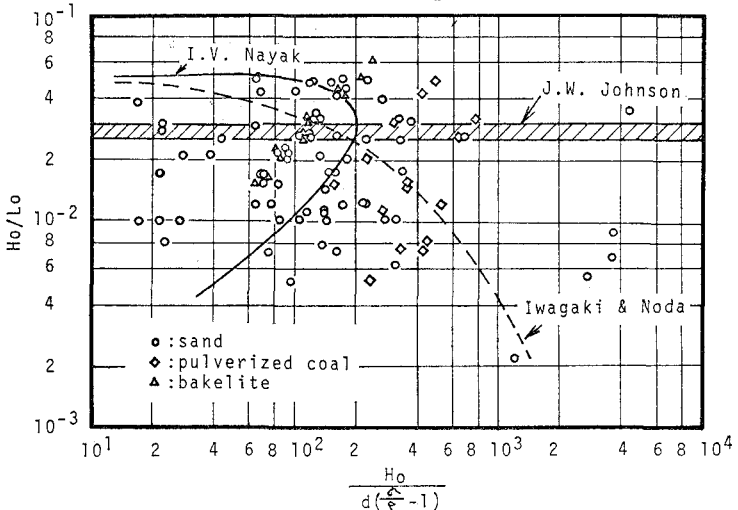


図-1. 最良回帰式の推定に使用するデータ。

表-2. 従属変数と独立変数の最小・最大値。

Variables	Criterion variable	Predictor variables							Remarks	
		$\frac{x_{sl}}{L_0}$	$\frac{h}{L_0}$	$\frac{d_m}{H_0}$	$i_0$	$\frac{H_0}{L_0}$	$\frac{t}{T}$	$\left(\frac{V}{S}-1\right)$	$\frac{V}{d_m \sqrt{g H_0}}$	$\frac{\log}{(H_0 t)^2}$
Minimam	-0.96	0.001	0.00013	0.042	0.0023	225	0.6	0.0003	17.62	5.2
Maximam	1.28	0.324	0.0344	0.2	0.060	705600	1.71	0.01	3856.7	15625